

Chen, et al.
F1S920030198US1 HDS

1/7

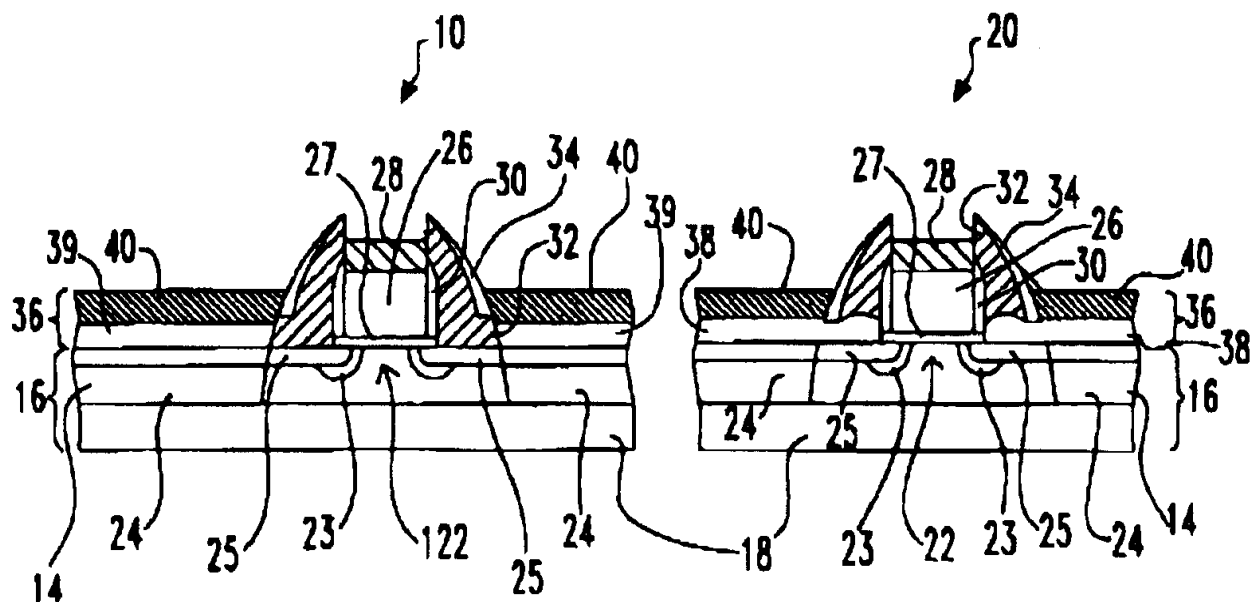


FIG. 1

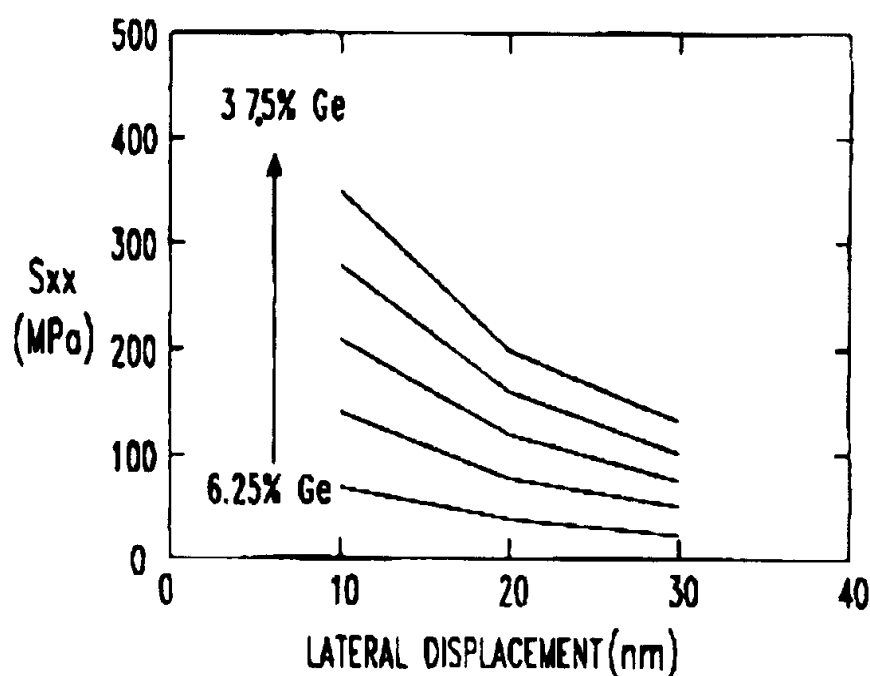
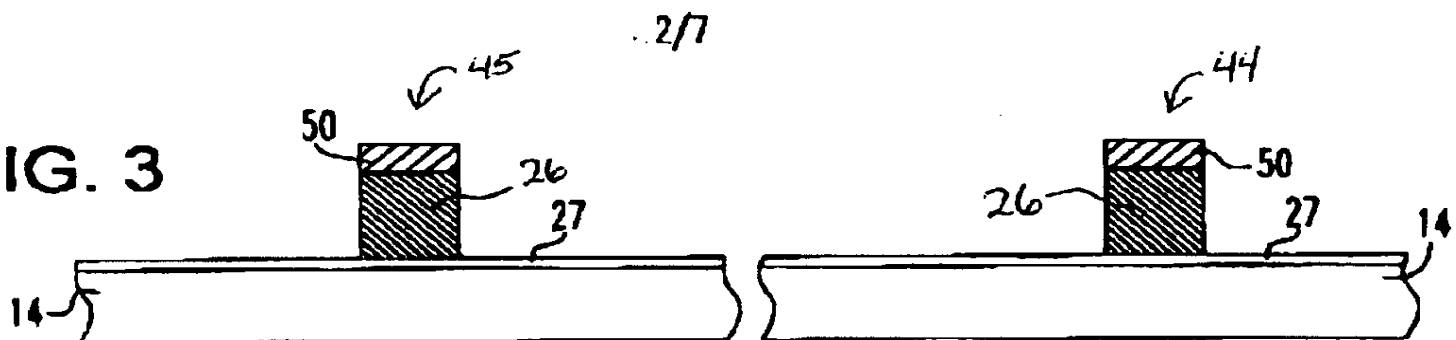
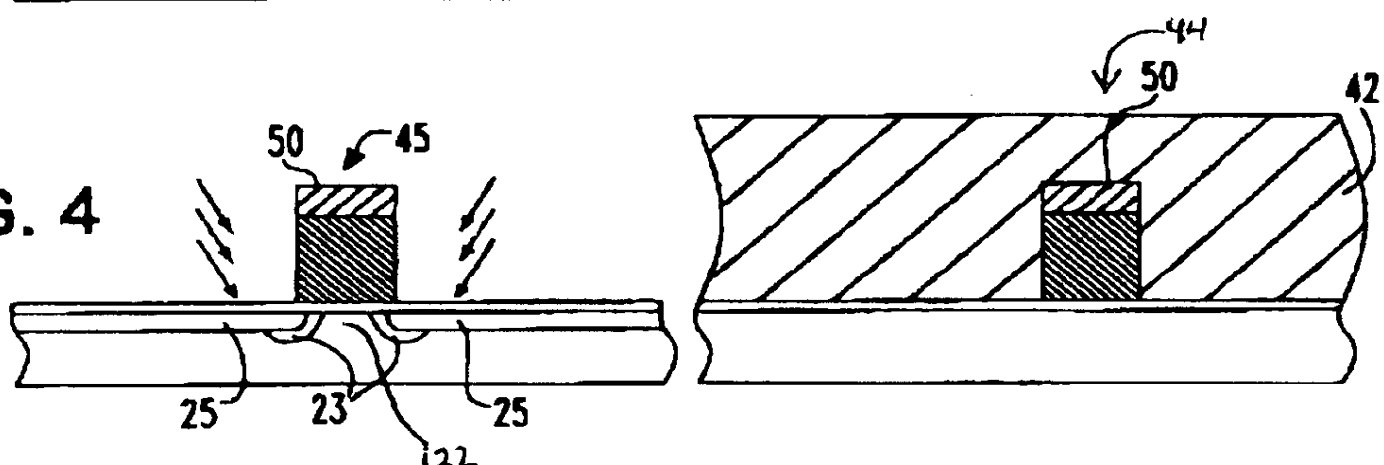
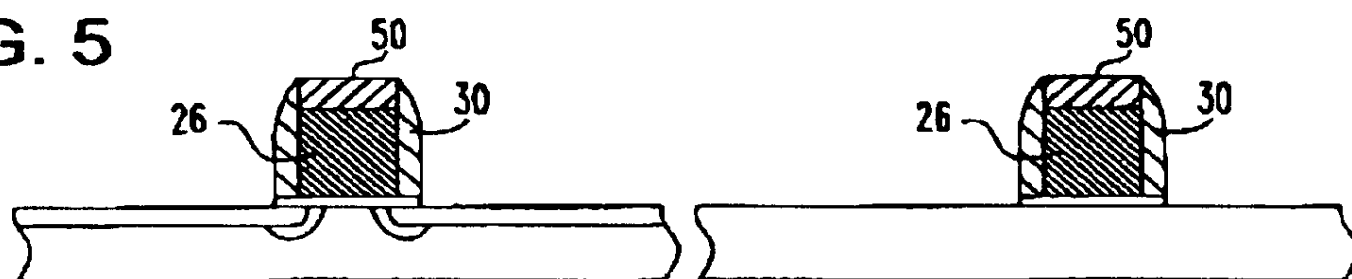
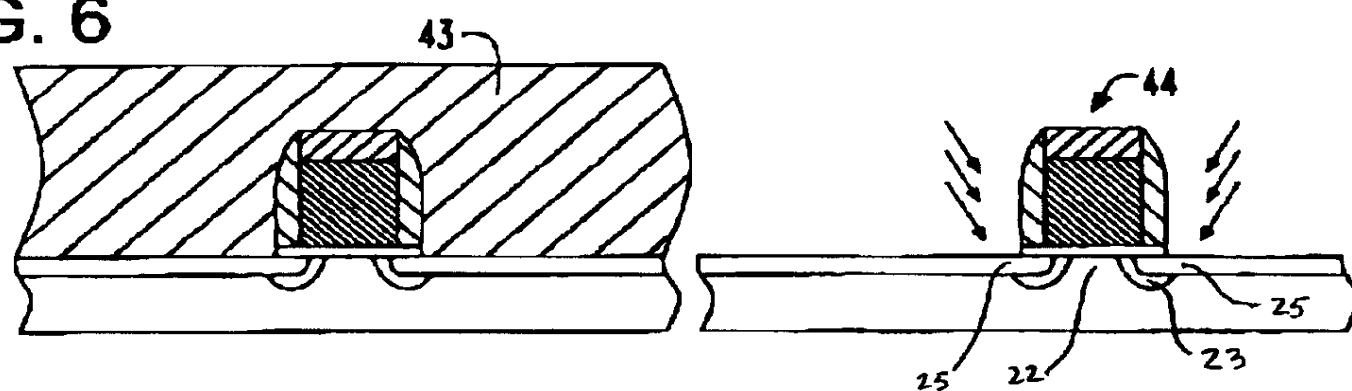
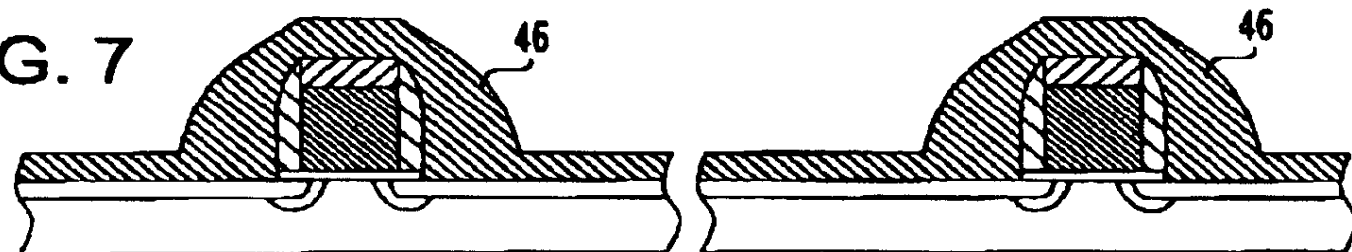


FIG. 2

FIG. 3

2/7

FIG. 4**FIG. 5****FIG. 6****FIG. 7**

3/7

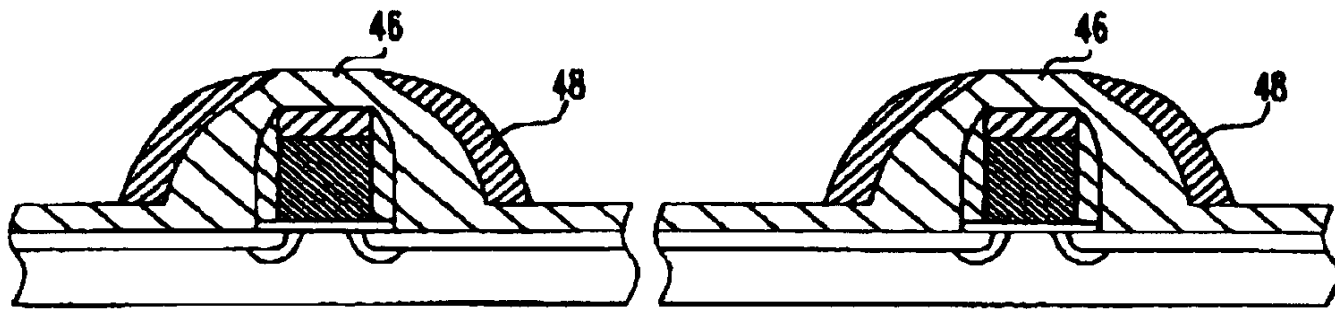


FIG. 8

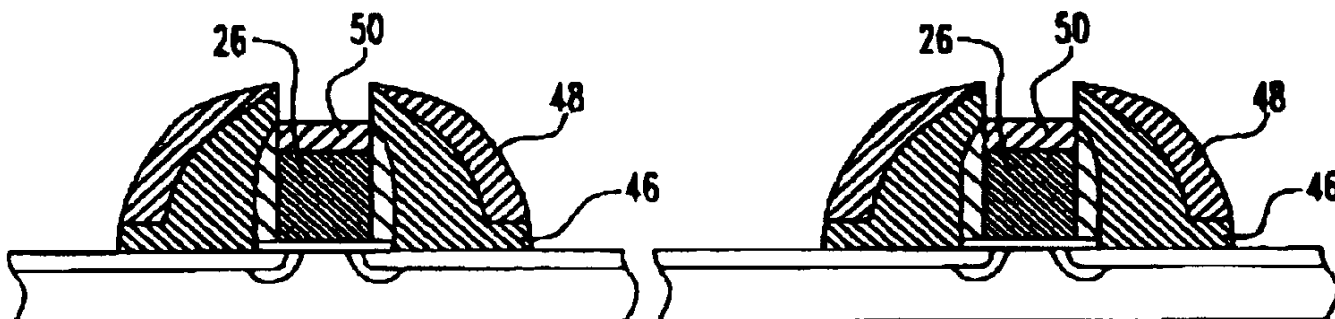


FIG. 9

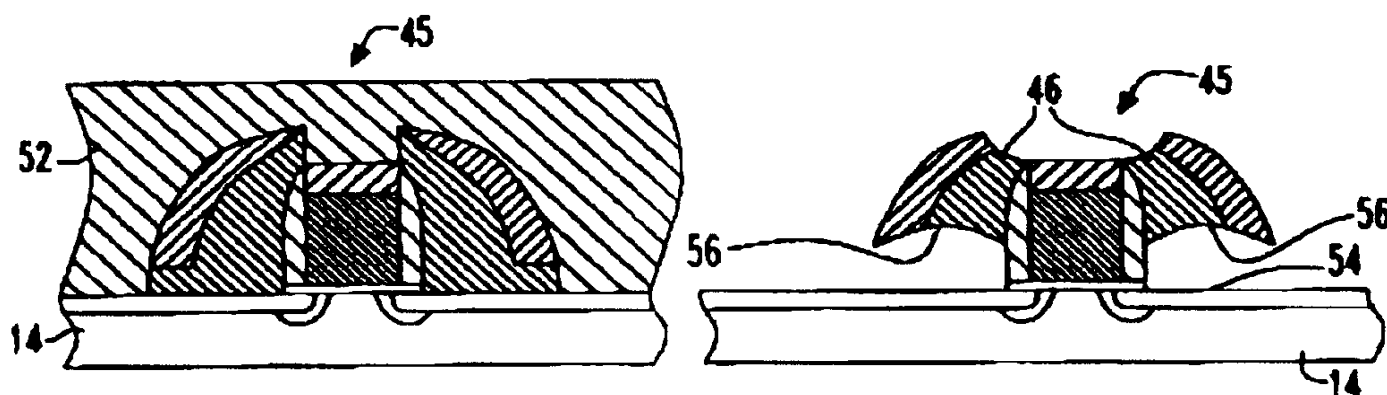


FIG. 10

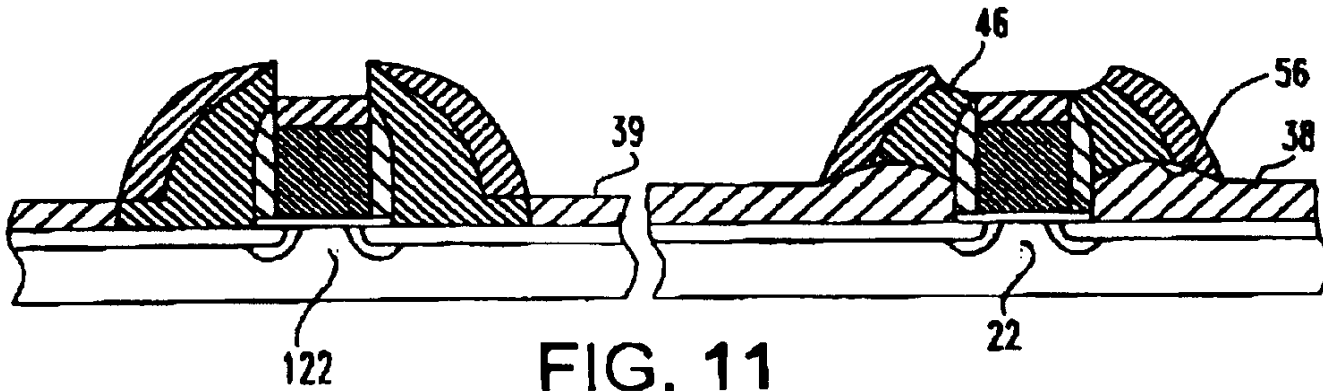


FIG. 11

4/7

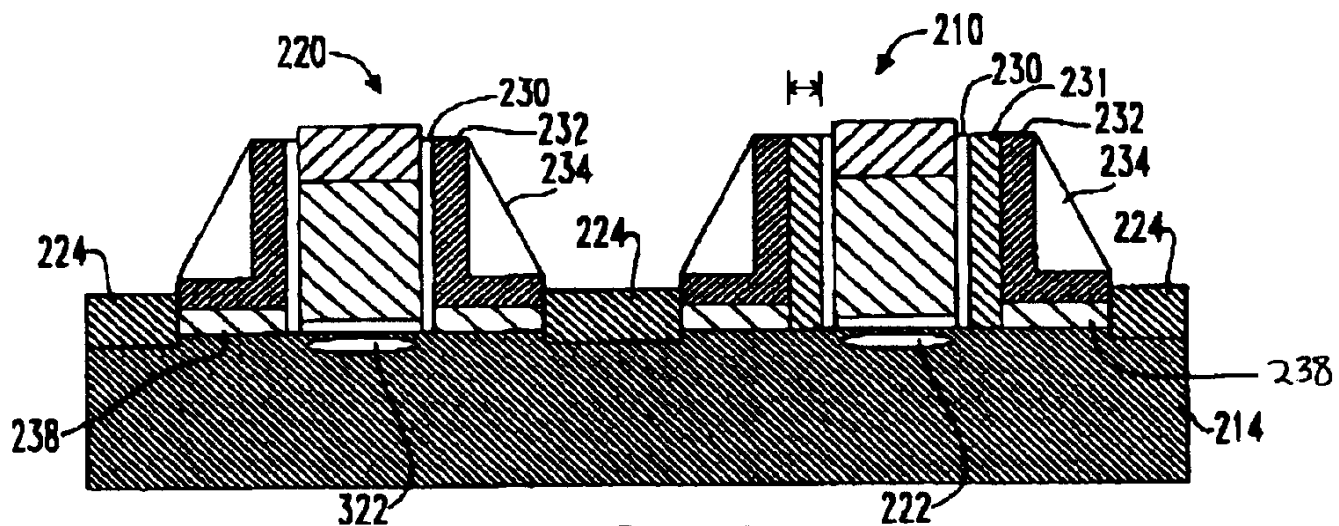


FIG. 12

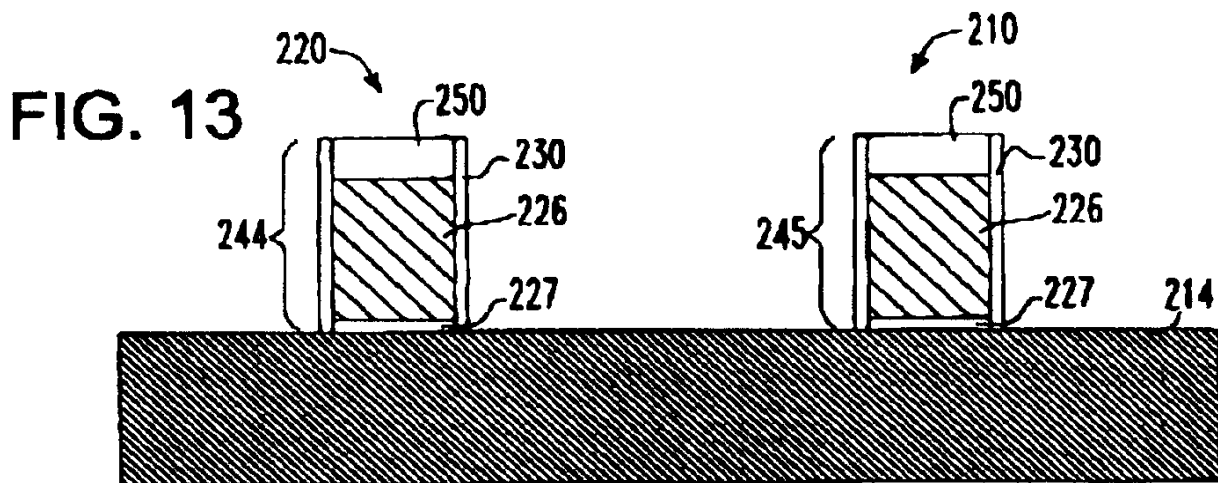


FIG. 13

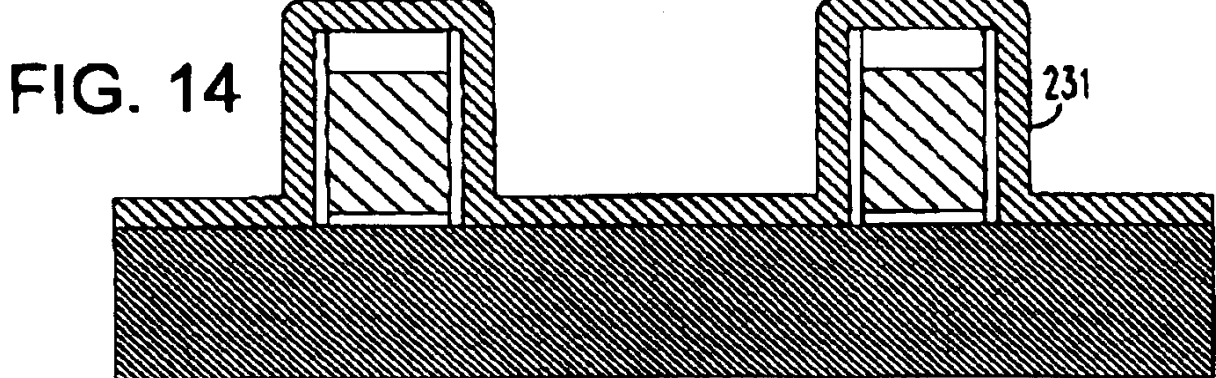
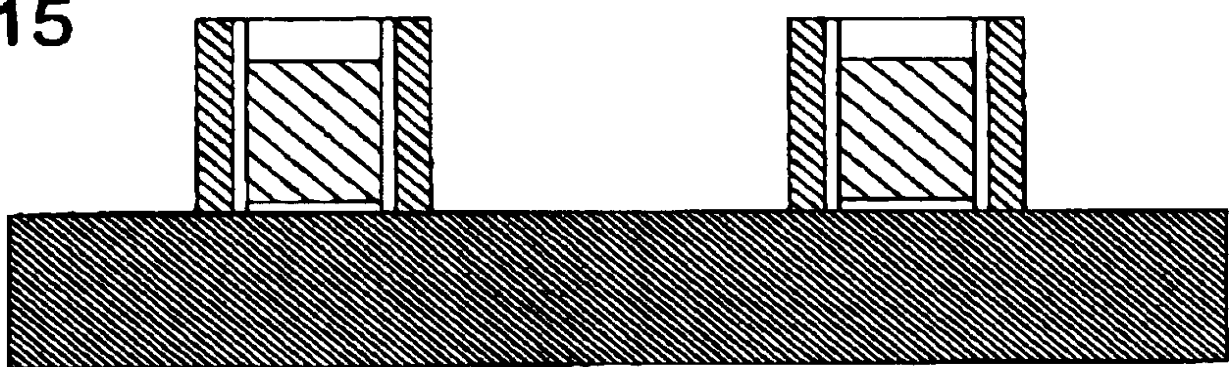
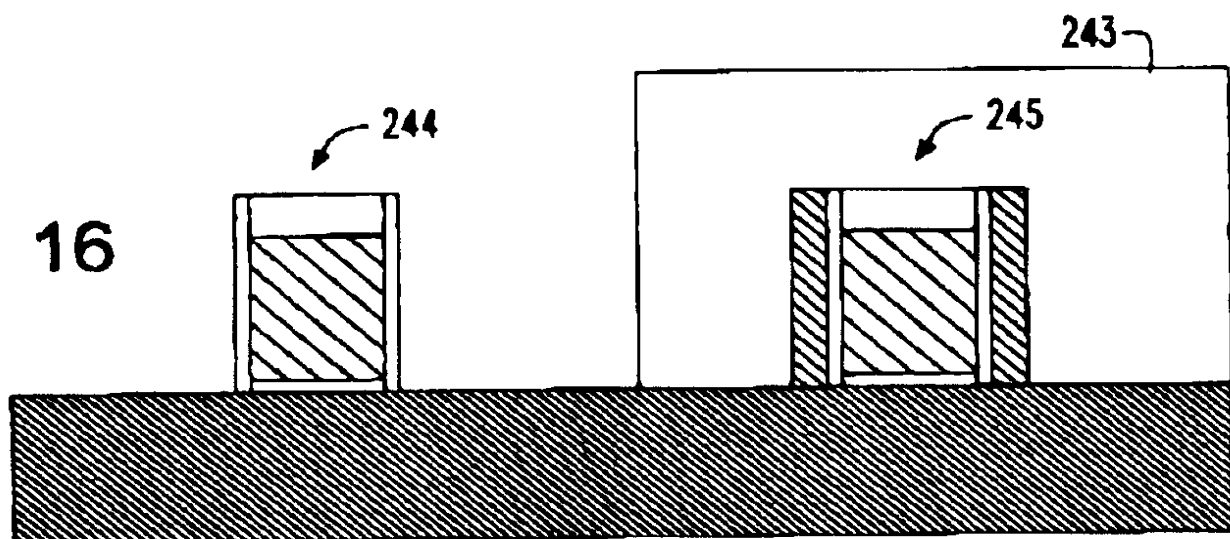
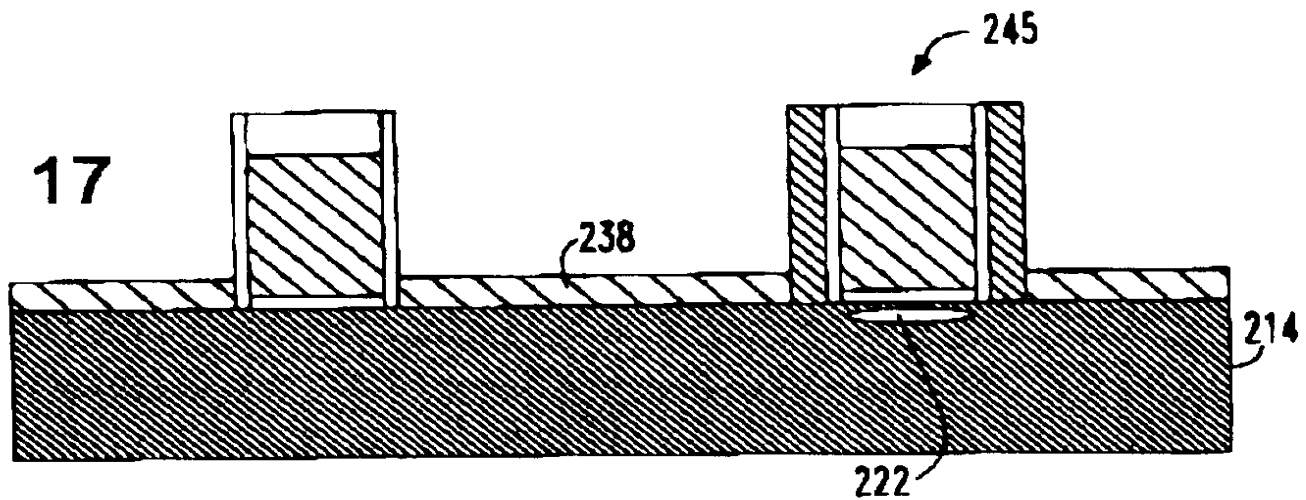


FIG. 14

.5/7

FIG. 15**FIG. 16****FIG. 17**

6/7

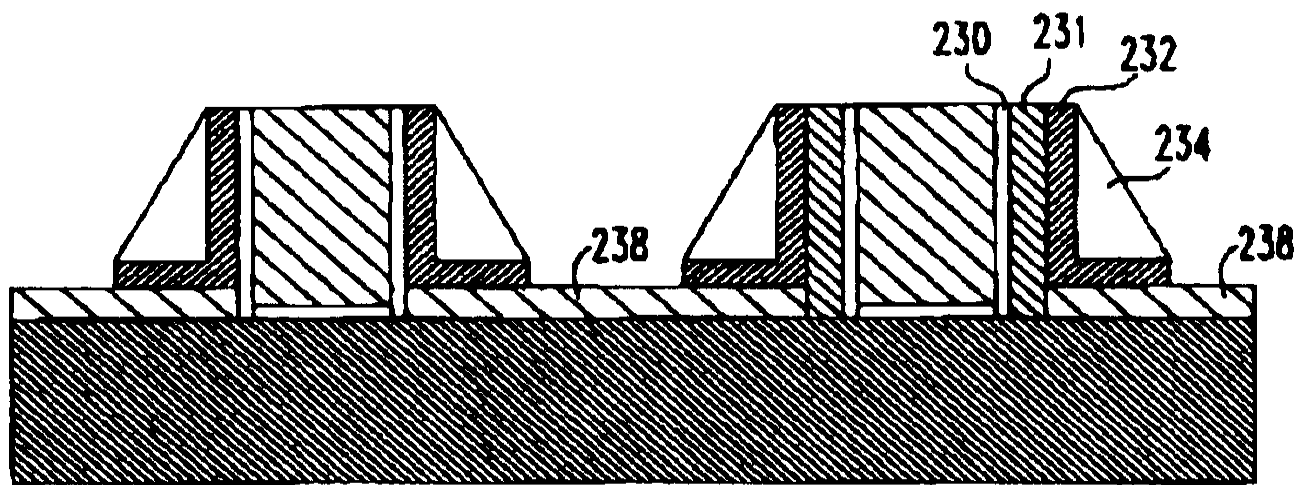


FIG. 18

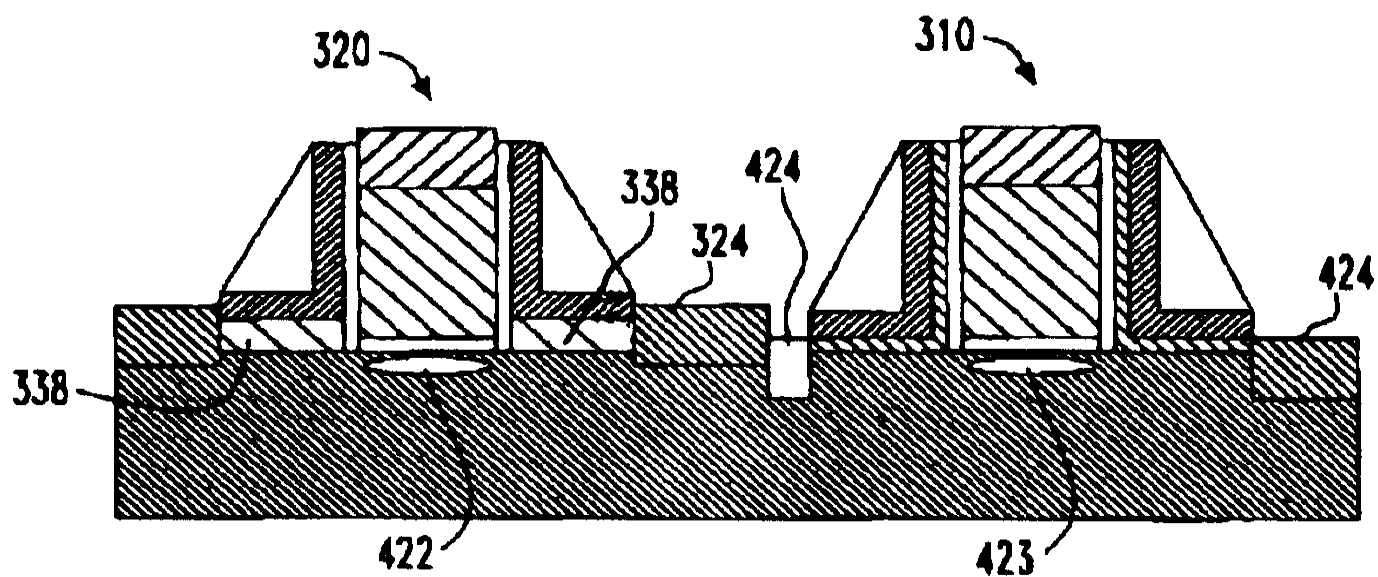


FIG. 19

..7/7

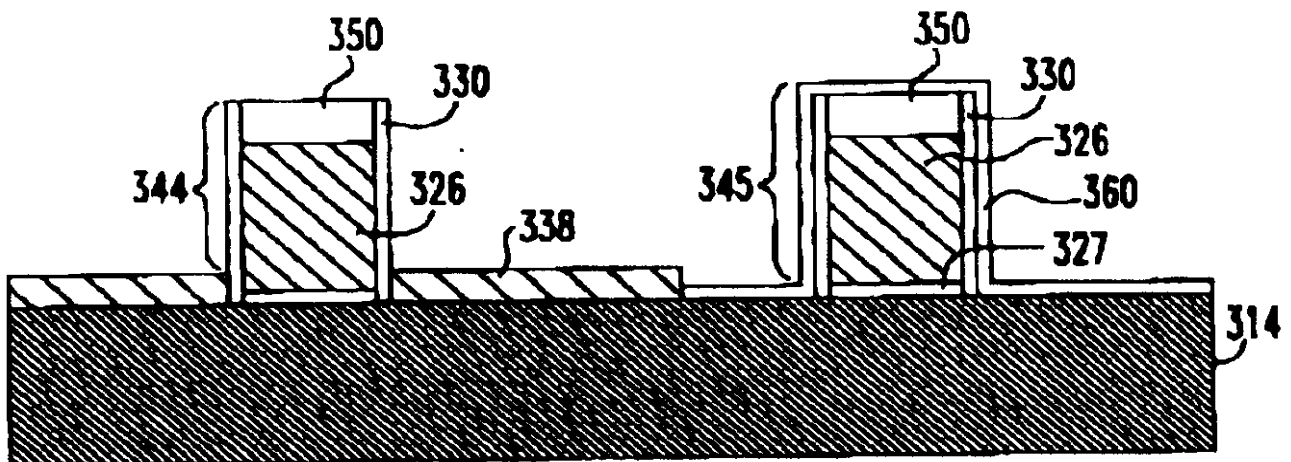


FIG. 20

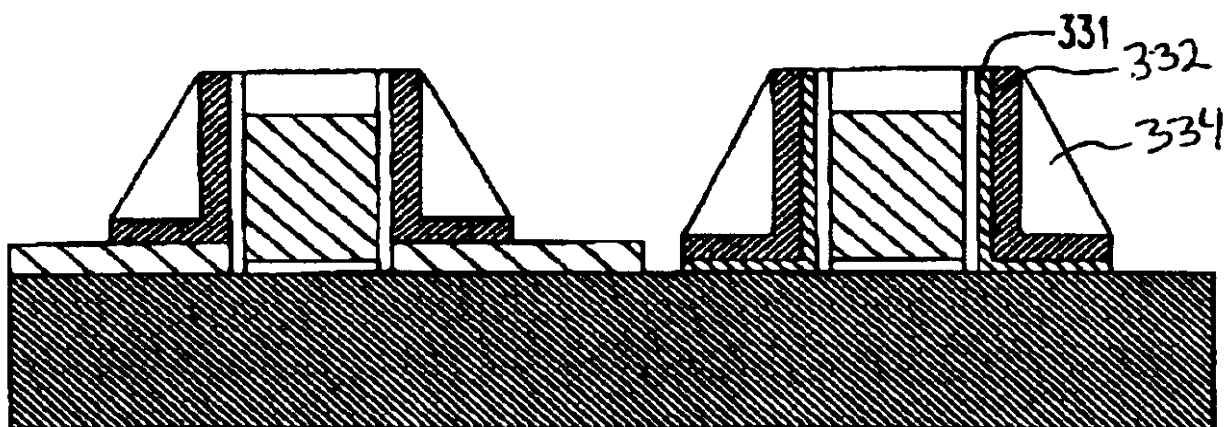


FIG. 21